

東京工業大学工学部 正会員 吉川秀夫
 同 同 福岡捷二
 同 学生会員 ○吉川勝秀

[1]まえがき

静水中を落下する粒子は、目標英にある分布をもって到達する。粒子の分布を、散らばりの機構に注目して考察した。

[2]個別に投入される場合(単粒子沈降)

沈降している粒子は、粒子R数がある程度大きければ、横方向の力をうける。そのために、目標英にある分布をもって推奨する。前田¹⁾、Tawachai²⁾等は、水深 Z_0 における分布が、標準偏差 $S \propto \sqrt{Z_0}$ の二項分布であることを、実験的に示している。前田は粒子の回転に注目し、理論的にも同様の結果を得ている。ところが、粒子は単なる回転のみによって散らばると考えられない。拡がりは、沈降速度と向欠的な渦のはくりによって決定されるはずである。

渦のはくりが生じる時に横方向の力をうけると考えれば、次のように単純化することにより、二次元的な散らばりの分布形が求まる。記号を以下のように定義する。 ω_0 ; 沈降速度, n ; $Z = Z_0$ までの渦を去可回数, α, β ; それそれ $Z = Z_0$ まで右へふられる回数, p ; 渦を去した時右へふられる確率, t_0 ; はくりの平均時間间隔, L ; t_0 間に X 方向へ移動する平均距離, D ; t_0 間に Z 方向へ移動する平均距離。したがって、次の関係式を得る。

$$\alpha + \beta = n, (\alpha - \beta) D = X \quad (1)$$

英(X, Z_0)に到達するためには、右へふくらなければならない。それ故、 X 英に存在する確率 $P_X(X, Z_0)$ 、平均 $E(X, Z_0)$ 、分散 $V(X, Z_0)$ は、次のようになる。

$$P_X = n C_\alpha P^\alpha (1-p)^{n-\alpha}, E = \sum_{x=0}^{nD} x P_x = Dn(\bar{z}p - 1) \\ V = \sum_{x=0}^{nD} (x - E)^2 P_x = 4D^2 n p(1-p) \quad (2)$$

$P = \frac{1}{2}$, $n = \frac{Z_0}{L} = \frac{Z_0}{\omega_0 t_0}$ とおけば、 $E = 0$, $V = D^2 Z_0 / \omega_0 t_0$ となる。(したがって、標準偏差 S は水深 Z_0 の $1/2$ 乗に比例する。

$$S = \sqrt{V} = \left\{ D / \sqrt{\omega_0 t_0} \right\} \sqrt{Z_0} \quad (3)$$

実験結果^{1), 2)}を図-2に示す。 $n p (1-p) \gg 1$ の時は、DeMoivre-Laplace³⁾定理より $P_X \approx \frac{1}{\sqrt{2\pi S}} \exp(-\frac{X^2}{2S^2})$ で、Gauss 分布となる。

以上は一個の粒子について考えたが、多数個の粒子分布は、重ね合わせることにより同様の結果を得る。

$$C(x, Z_0) / C_m(0, Z_0) = \exp(-\frac{x^2}{2S^2}) \quad (4)$$

ただし、 $\int_{-\infty}^{\infty} C(x, Z_0) dx = Q_0$ (投入量), C ; 濃度。

[3]連続的に投入される場合(多粒子沈降)

この場合は、粒子と流体および粒子間の相互干渉の問題となる。粒径がある程度大きく、重力の効果に比較してそれによる拡散を無視できる場合を考える。粒子が連続的に投入されると、粒子に作用する重力のために、流れが誘起される。したがって、[2]の場合とは異なり、粒子の通過経路によつておより L が変化する。 S は

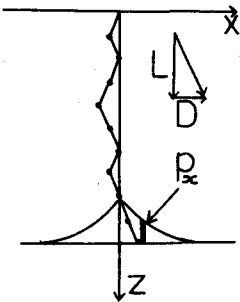


図-1

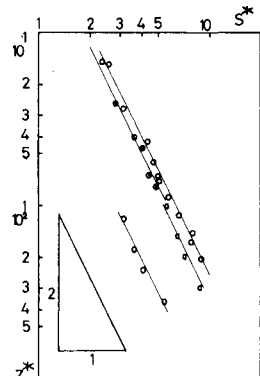


図-2

、粒子が平均流に乗るために、減少すると考えられる。実験結果を図-3に示す。
実験条件は $\rho/\rho_f = 1.05$, $d_s = 0.3 \text{ cm}$, $C = 0.037 \text{ %cc.}$ 。ただし、 P ; 流体の密度
, P_s ; 粒子の密度, d_s ; 粒径。

平均流は、次の仮定のもとに、粒子の連続式と、流体と粒子の運動量式から求まる。仮定；(1)濃度分布 $C(x, z)/C_m(0, z) = \exp(-x^2/2S_z^2)$, (2)流速分布
 $U(x, z)/U_m(0, z) = \exp(-x^2/2S_z^2)$, (3)静水圧分布, (4)流れと粒子の拡がり
幅が大きい。 w_0, P, d_s で無次元化すると

$$(i) \text{連続式} ; \frac{1}{\sqrt{2}} C_m^* U_m^* S^* + C_m^* S^* = Q^* \quad (5)$$

$$(ii) \text{運動量式} ; P^* \left\{ \frac{1}{\sqrt{2}} C_m^* U_m^* S^* + \frac{1}{\sqrt{2}} C_m^* U_m^* S^* + C_m^* S^* \right\} + \left\{ \frac{1}{\sqrt{2}} C_o U_m^* S^* \right\} = (P^* - 1) G^* \int_0^{x^*} C_m^* S^* dz \quad (6)$$

ただし、 C_o ; 基準濃度, $C_m^* = C_0/C_o$, $U_m^* = U_m/w_0$, $S^* = S/ds$, $Q^* = Q_0/ds w_0 P^*$
 $= P_s/P$, $G^* = g d_s / w_0^2$

す; 重力加速度。粒子が平均流に乗る効果を $U_{\text{添}}$ で導入し、 $L = (w_0 + U_{\text{添}}) t_0$ とした結果を、図-3に太い実線で示す。

(4) 考察

(2)の各プロセスが独立に生じるという仮定は、(i)渦を含む粒子に回転が生じる、(ii)三次元的な粒子の軌跡を
二次元的に観測するためにはほぼ満足されると考える。 $S/\sqrt{2}$ のオーダーは、Re数が $10^3 \sim 10^4$ 範囲で、かつ
 $w_0^2 \gg x^2$ の条件下次式より計算され、実験値とよく対応する。図-3の実験値; $S/\sqrt{2} = 0.478$ (実験値),
0.6 (計算値)。

$$P^* V^* (1 + \gamma/P^*) \ddot{x}^* = C_2 \frac{\rho}{\rho_f} A^* S(t) - C_2 \frac{\rho}{\rho_f} A^* \dot{x}^* \quad (7)$$

ただし、 V ; 体積, A ; 投影面積, ρV ; 仮想質量, $C_2 \frac{\rho}{\rho_f}$,
, C_2 ; 拾取係数, $V^* = V/ds$, $A^* = A/ds$, $x^* = x/ds$,
 γ (4); デルタ関数。

$S/\sqrt{2}$ の実験値を図-4

に示す。 $S/\sqrt{2}$ がRe数に依存しないのは、(7)式からも
計算されるように D_w がRe数の弱い関数で、かつストロ
ーハル数がほぼ一定のためと思われる。

粒子を連続的に投入する場合は、濃度が濃くなると
粒子間の衝突が問題となる。また、粒子が小さければ、
平均流および流れと粒子の相互干渉を考慮する必要がある。

(5) 結論

粒子の散らばりが慣性的な渦のぼくりによることに注目し、粒子の分布の本質を導いた。その結果、次のことが結論される。

(i) 単粒子沈降の分布形はGauss分布で、 $S \propto \sqrt{2}$ である。

(ii) $S/\sqrt{2}$ は、Re数が $10^3 \sim 10^4$ オーダーでは、Re数に依存しない。

(iii) 多粒子沈降の拡がりは、 C が十分小さい時、重力によって発生される流れを考慮すれば、単純粒子沈降の
結果から予測できる。

参考文献

1. 砂および砾の水中落下の散らばりに関する研究。前田寛治。土木学会論文集
2. Gravitational Convection. Tawachai. A.I.T.
3. 流体力学。日野幹雄。朝倉

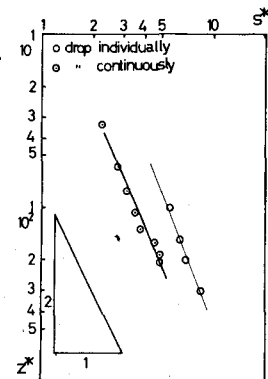


図-3

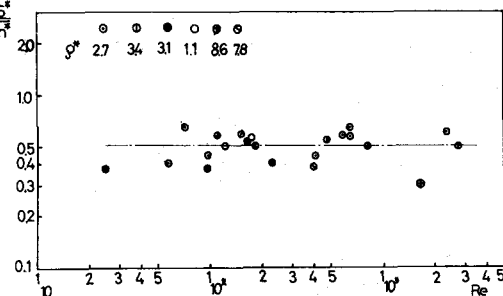


図-4